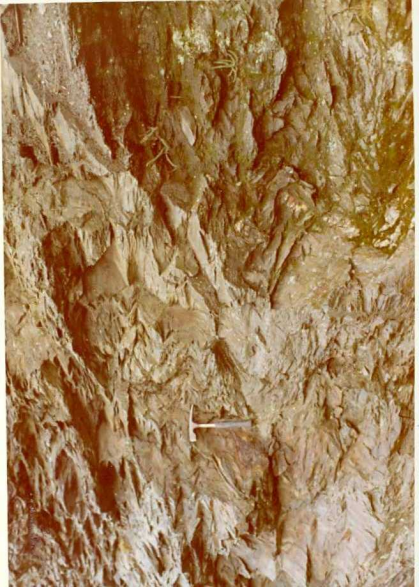


530.- Replegamiento tardío en la serie de Villanueva, próximos a la falla longitudinal.





.531.- Deformación tardía en la serie del Silúrico, situados en las proximidades a la falla longitudinal.



1.532.- Vista ampliada de la anterior.



1.533.- Aspecto de las cuarcitas suprayacentes a la formación "Ollón de Sapo", en las que se observan pequeños repliegues en material de cuarzo. (Señalados por la punta del martillo).



1.534.- Facies mixta de la forma--
ción "Ollo de Sapo". (Meta--
grauwacas).



1.535.- Posible estratificación en trecruzada, más tarde deformada tectónicamente, en la facies mixta de la formación "Ollo de Sapo".

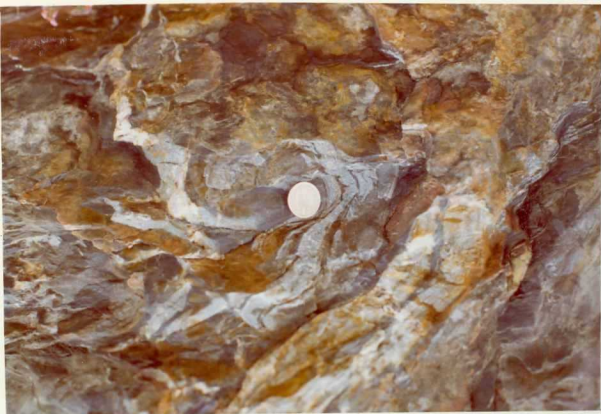




.536.- Aspecto de las metariolitas incluidas en el Silúrico.



1.537.- Plegamiento F₂ en la serie del Silúrico



1.538.- Esquistosidad replegada por la F_3 , el eje de pliegue es cortante a la dirección de la esquistosidad general.



1.539.- En las cuarcitas en bancos continuos posible estratificación S_0 o S_1 afectada por esquistosidad posterior.



1.540.- Refracción de los planos de esquistosidad, al pasar de pelitas a samitas.



.- En las cuarcitas en bancos continuos (O_{12}^1), posible estratificación S_oSS_1 afectado por esquistosidad posterior.





1

542.- Deformación tipo "kink-band" en la serie
del Ordovícico Medio y Superior.



1.543.- Aspecto de las areniscas fel
despáticas grises y negras,
de la base del Silúrico S_3^B .



1.544.- Filón de cuarzo deformado y plegado.



1.545.- Esquistosidad replegada por deformación tardía, situada próxima a la falla longitudinal.

1.546.- Plegamiento tardío en la serie de Villalba, próximos a la falla longitudinal.

